

9

TRANSFORMADAS
INTEGRALES

9 - 1

E CUACIONES
INTEGRALES

Mathematical Aspects of the Inversion Problem

4.1 Introduction

It is natural to assume that the astronomical data inversion problems discussed previously can be illuminated to some extent by invoking the analytic mathematical theory of integral equations. This is indeed the case. Without attempting an exhaustive mathematical treatment, the present chapter aims to outline those aspects of the mathematical theory of relevance to practical data inversion and stabilisation techniques. The discussion is mainly concerned with integral equations of the first kind since these are known to present the most severe practical difficulties. The reader should be warned however, that no mathematical theory, no matter how powerful or elegant, can overcome the basic problem of the data generally lacking information with regard to the details—specifically the high frequency components—of the source function. Methods of stabilising the inversion by counteracting this ‘lack of information’ are discussed in Chapter 6.

Fuller development of material in this chapter (as well as Chapters 5 and 6) can be found in the following sources. Systematic developments of the theory of linear integral equations are presented in the textbooks by Smithies (1962) and Tricomi (1957). Of more relevance to the numerical inversion problem are the proceedings edited by Delves and Walsh (1974): the excellent contribution of Miller (Chapter 13) provides a particularly succinct account of the ill posed inversion problem. The more recent work of Baker (1977) has provided the most general and exhaustive treatment so far on the numerical treatment of integral equations. There are, in addition, many review articles that deal with different aspects and applications of the

¿QUIÉNS LA ESTABILIZACIÓN DE
 LA INVERSIÓN DEBE DE VENIR DE
 LA PROGRAM FÍSICA

inversion problem (e.g. Franklin 1970, Turchin *et al* 1971, Parker 1977). Also of direct relevance are the workshop on applied inverse problems (Sabatier 1978) and Twomey's (1977) monograph on the mathematics of 'remote sensing' experiments.

4.2 Integral Equations of the First and Second Kinds

We will concentrate on the standard types of linear integral equations defined in Chapter 2. Recall that

$$\int_a^b k(x, y)f(y) dy = g(x) \quad c < x < d \quad (4.1)$$

and

$$f(x) = g(x) + \lambda \int_a^b k(x, y)f(y) dy \quad a < x < b \quad (4.2)$$

are Fredholm integral equations of the first and second kind respectively (§2.1). In both cases the problem is to determine the unknown function $f(y)$ given that $g(x)$ and $k(x, y)$ are known functions prescribed over a given range of x . Note that although the x range can differ from the range of integration for equations of the first kind, it is always possible to ensure $c = a$, $d = b$, by a simple change of variable. In the special case where $k(x, y) = 0$ for $y > x$ the equations are known as Volterra rather than Fredholm equations. Thus

$$\int_a^x k(x, y)f(y) dy = g(x) \quad a < x < b \quad (4.3)$$

is a Volterra equation of the first kind.

It is not difficult to see that equations of the second kind may be easier to solve than equations of the first kind. Observe that in the case where $|\lambda|$ is small a reasonable first approximation to the unknown function in equation (4.2) can be obtained by setting $f(x) = g(x)$. This approximation can then be refined by setting up, in the usual iterative spirit, a recursive procedure of the form

$$f_{n+1}(x) = g(x) + \lambda \int_a^b k(x, y)f_n(y) dy \quad n = 1, 2, \dots \quad (4.4)$$

f_1 being obtained from the earlier approximation $f_0 = g(x)$ and so on. A basic result in the analytic theory of Fredholm integral equations is that, for continuous k and g , the iteration (4.4) converges to the true solution provided $|\lambda|$ is *sufficiently small*: specifically for uniform convergence $|\lambda| (b - a) \max_{x,y} |k(x, y)| < 1$ (e.g. Ursell 1974). It is clear that when $|\lambda|$

Volterra equations have rather distinct properties from Fredholm equations in respect of smoothing, and instability of inversion, and there appears to be a general consensus that inversion of Volterra equations is less troublesome (e.g. Baker 1974). For the case of Volterra equations of the second kind this superior behaviour is reflected by the fact that the iterative procedure analogous to equation (4.4) always converges independently of the magnitude of λ (see Baker 1977). Equations of the first kind tend to be more troublesome but note that by differentiating the data function in equation (4.3) we obtain

$$k(x, x)f(x) + \int_a^x \frac{\partial k}{\partial x}(x, y)f(y) dy = g'(x) \quad (4.6)$$

so that *provided* $k(x, y)$ is *non-singular*, a Volterra equation of the first kind is reduced to a comparatively well behaved equation of the second kind with appropriate redefinition of the data and kernel functions in equation (4.6). There appears considerable practical advantage in such a reduction despite the potential for noise amplification that arises through numerical differentiation of the data function (see §§4.4 and 5.3). The problems associated with *weakly singular* Volterra equations of the first kind are discussed in §4.4.

Volterra equations, on the other hand, give rise to discretised linear systems of lower triangular form and these, although not entirely trouble free, tend to be better conditioned numerically.

* UN SIMPLE CAMBIO DE VARIABLE
PUEDE ILUSTRAR MUCHO LA
NATURALEZA DEL PROBLEMA,

EJEMPLO: INVERSION DE LA
LEY DE OSCURECIMIENTO
CENTRO BODEB

CAMBIA LOS LÍMITES DE y

Y CAMBIA LA NATURALEZA
DE LA FUNCIÓN QUE QUEREMOS
ENCONTRAR,

EN GENERAL

EL ESPACIO DONDE SE
DESENVUELVEN y

y
EL ESPACIO DONDE SE
DESENVUELVEN x

PUEDEN NO TENER NADA
QUE VER OJO.

Q- 2

TRANSFORMADAS
INTEGRALES

EXISTENCIA-UNICIDAD

TRANSFORMADAS INTEGRALES

EXISTENCIA / UNICIDAD

The inversion problems discussed previously can be illuminated to some extent by invoking the analytic mathematical theory of integral equations. This is indeed the case. Without attempting an exhaustive mathematical treatment, the present chapter aims to outline those aspects of the mathematical theory of relevance to practical data inversion techniques

$$g(y) = \int_a^b K(x, y) f(x) dx \quad \text{FREDHOLM}$$

$$g(y) = \int_a^y K(x, y) f(x) dx \quad \text{VOLTERRA}$$

SON PUES ECUACIONES INTEGRALES
DEL PRIMER TIPO
CORRESPONDEN AL CASO MÁS
ELEMENTAL DE PROBLEMAS LINEALES
TANTO DIRECTOS
COMO INVEROS

The problem of uniqueness of solutions to equation (1) can be boiled down to the question: are there any nontrivial solutions f to the equations

$$\int_a^b K(x, y) f(x) dx = 0 \quad \int_a^y K(x, y) f(x) dx = 0$$

If the answer is no, then f is unique.

If it is yes, then the class ϕ of all such solutions (so that $f \in \phi$) is called the annihilator of $K(x, y)$. Our knowledge of ϕ can tell us nothing whatsoever about those parts of f that belong to ϕ , and therefore these parts must be deduced from information other than that contained in g . For the complex kernels K of physical processes it is relatively rare that uniqueness can be established,

NECESIDAD DEL CONOCIMIENTO FÍSICO DEL PROBLEMA
CUANDO SEA NECESARIO UN ESTUDIO PARTICULAR, UNA REGLA GENERAL ES COMPARAR EL PROBLEMA PARTICULAR,

CON one of the well-studied integral transforms, for example:

Laplace: $G(x, y) = e^{-xy}, \quad 0 \leq x < \infty,$

Fourier: $G(x, y) = e^{2\pi ixy}, \quad -\infty < x < \infty.$

Hankel: $G(x, y) = J_\nu(xy)(xy)^{1/2}, \quad 0 \leq x < \infty.$

All of these have unique solutions for a sufficiently well-behaved class of model functions.

Es decir, si:

$$\varphi(\eta) = \int_1 \mathbf{K}(x, \eta) \underline{f(x)} dx$$

Tiene una solución = $f_p(x)$

Puede tener INFINITAS SOLUCIONES

$$\underline{f_p(x) + \varphi(x)}$$

Siempre y cuando $\varphi(x)$ sea una solución de la ecuación homogénea

$$\int_1 \mathbf{K}(x, \eta) \varphi(x) dx = 0$$

ES DECIR: si la ecuación homogénea tiene solución, la ecuación general o bien no tiene solución, o tiene varias diferentes
SE TRATA DE UN PROBLEMA MAL PLANTEADO

Furthermore, many Volterra equations [which contain the Heaviside function $H(x-y)$] can be shown to possess unique solutions, e.g. the Abel equation with

$$K(x, y) = H(y-x)(y-x)^{-\nu}, \quad 0 < \nu < 1.$$

Suppose an annihilator exists for a particular $K(x, y)$; its presence will not necessarily be revealed by numerical solutions of (1) because the (necessarily finite-dimensional) representation of $K(x, y)$ may not be singular, even though the true kernel is.

$$H(y-x) = \begin{cases} 0 & \text{if } y < x \\ 1 & \text{if } y > x \end{cases}$$

$$g(y) = \int_0^1 K(x, y) f(x) dx =$$

$$= \int_0^1 \frac{H(y-x)}{(y-x)^\nu} f(x) dx =$$

$$= \int_0^y \frac{f(x)}{(y-x)^\nu} dx \quad \text{ABEL}$$

DEBIDO A LA REPRESENTACION NUMERICO-PRACTICO DE $K(x, y)$ PERO, SOBRE TODO, A LA DEPENDENCIA CON y DEL INTERVALO DE INTEGRACION LA INVERSION SUELE SER ÚNICA, AUN EN CASOS EXTREMOS. O PUEDE SER, EN LA PRACTICA, ÚNICA

EJEMPLO

$$\int_{-1}^{+1} (x-y)^2 f(x) dx = g(y)$$

DESARROLLANDO EL NUCLEO $(x-y)^2$ TENEMOS

$$y^2 \int_{-1}^{+1} f(x) dx - 2y \int_{-1}^{+1} x f(x) dx + \int_{-1}^{+1} x^2 f(x) dx = g(y)$$

TENEMOS PUES COMO CONDICIÓN DE COMPATIBILIDAD:

EL CONJUNTO DE DATOS $g(y)$ TIENE QUE TENER UNA FORMA PARABÓLICA. EN CASO CONTRARIO EL PROBLEMA NO TIENE SOLUCIÓN.

¿POR QUÉ OCURRE ESTO?

PUES POR LAS RAZONES DE SIEMPRE:

EL CONJUNTO DE NUCLEOS:
UNO PARA VALOR DE y_e
SÓLO TIENE 3 ELEMENTOS
INDEPENDIENTES:

$$(x-y_i)^2 \quad (x-y_j)^2 \quad (x-y_k)^2$$

CUALQUIER OTRO $(x-y_e)^2$

ES COMBINACIÓN LINEAL DE
LOS ANTERIORES (DE OTROS
TRES CUALQUIERA)

$$(x - x_e)^2 = a(x - x_i) + b(x - x_j)^2 + c(x - x_k)^2$$

$$a + b + c = 1$$

$$a y_i + b y_j + c y_k = y_e$$

$$a y_i^2 + b y_j^2 + c y_k^2 = y_e^2$$

$$\begin{pmatrix} 1 & 1 & 1 \\ y_i & y_j & y_k \\ y_i^2 & y_j^2 & y_k^2 \end{pmatrix} \begin{pmatrix} a \\ b \\ c \end{pmatrix} = \begin{pmatrix} 1 \\ y_e \\ y_e^2 \end{pmatrix}$$

$$a = \frac{y_j y_k - (y_j + y_k) y_e + y_e^2}{(y_i - y_j)(y_i - y_k)}$$

$$b = \frac{y_i y_k - (y_i + y_k) y_e + y_e^2}{(y_j - y_i)(y_j - y_k)}$$

$$c = \frac{y_i y_j - (y_i + y_j) y_e + y_e^2}{(y_k - y_i)(y_k - y_j)}$$

POR LO TANTO DE LAS INFINITAS ECUACIONES CONTENIDAS EN

$$\int_{-1}^{+1} (x - y)^2 f(x) dx = g(y)$$

(UNA PARA CADA y) SÓLO HABRÁ TRES LINEALMENTE INDEPENDIENTES. ES UN PROBLEMA CON INFINITAS SOLUCIONES. MUCHOS AUTOVALORES NULOS.

ADMITAMOS QUE $g(y)$ TIENE UNA FORMA PARABOLICA CONOCIDA :

$$g(y) = g_0 + g_1 y + g_2 y^2$$

g_0, g_1, g_2 CONSTANTES CONOCIDAS

ENTONCES PARA QUE HAYA SOLUCIÓN TENDRA QUE SER

$$\int_{-1}^{+1} f(x) dx = g_0 \quad \int_{-1}^{+1} x f(x) dx = g_1$$
$$\int_{-1}^{+1} x^2 f(x) dx = g_2$$

TODAS LAS FUNCIONES $f(x)$ QUE CUMPLEN CON ESAS ECUACIONES :
- LIGADURAS - SERÁN SOLUCIÓN DE LA ECUACION

$$\int_{-1}^{+1} (x - y)^2 f(x) dx = g(y)$$

CON $g(y) = g_0 + g_1 y + g_2 y^2$

EN PARTICULAR TODOS LOS POLINOMIOS DE LEGENDRE DE GRADO 3 O SUPERIOR

LA SOLUCIÓN NO SERÁ ÚNICA NUNCA AUNQUE $g(y)$ SATISFAGA LA CONDICIÓN DE COMPATIBILIDAD

EN OTROS TERMINOS:

LA ECUACION HOMOGENEA

$$\int_{-1}^{+1} (x-y)^2 \varphi(x) dx = 0$$

TIENE SOLUCION: INFINITAS SOLUCIONES

POR ESO, AUNQUE $g(y)$ CUMPLA
CON LA CONDICION DE SER
PARABOLICA (COMPATIBILIDAD)

EL PROBLEMA TENDRA INFINITAS
SOLUCIONES:

SE TRATA DE UN PROBLEMA
MAL PLANTEADO (HADAMARD)

ESTO VA A OCURRIR CON
TODAS LAS TRANSFORMADAS
INTEGRALES DE FREDHOLM
(AL MENOS EN LA PRACTICA
NUMERICA)

EN TEORIA PURA SE PUEDE
DEMOSTRAR LA UNICIDAD
DE LA SOLUCION PARA
MUCHOS CASOS.

UNA CUESTIÓN MUY IMPORTANTE ES EL ESTUDIO DE LA COMPATIBILIDAD EN LA PRACTICA NUMÉRICA.

SI, POR REFERIRNOS AL EJEMPLO ANTERIOR, TENEMOS EL DATO $g(y)$ EN UNOS PUNTOS DADOS y_k , EN FORMA DE UNA "TABLA"

$$y_k \rightarrow g(y_k)$$

¿ COMO SABEMOS SI ES, O NO, UNA PARÁBOLA ?

ES DECIR SI SON, O NO, DATOS COMPATIBLES CON NUESTRO PROBLEMA

SI, DENTRO DE UN ESQUEMA DE TRABAJO ANALÍTICO, AJUSTAMOS LA CURVA $g(y)$ MEDIANTE UN POLINOMIO DE ORDEN IGUAL O MENOR (MINIMOS CUADRADOS), AL NUMERO DE PUNTOS MEDIDOS QUE TENEMOS

Y SI EL POLINOMIO ES DE ORDEN SUPERIOR A LA PARÁBOLA

NO ENCONTRAREMOS SOLUCIÓN

ES DECIR, LOS DATOS
EXPERIMENTALES-OBSERVACIONALES
DEBEN SER INTRODUCIDOS EN EL
ALGORITMO TEORICO/NUMERICO
DE INVERSION, DE ACUERDO CON
UNA FORMA MATEMÁTICA
COMPATIBLE CON LA ECUACIÓN
INTEGRAL

EN CASO CONTRARIO,
SOMOS NOSOTROS LOS QUE
ANULAMOS LA POSIBILIDAD
DE TENER UNA SOLUCIÓN.

PERO EN EL EJEMPLO ANTERIOR
ES FACIL DE SABER CUAL ES LA
FORMA MATEMÁTICA COMPATIBLE
CON LA ECUACIÓN INTEGRAL, A LA
QUE DEBEMOS AJUSTAR LOS DATOS:

UNA PARÁBOLA

PERO EN OTROS CASOS VA A SER
MUY DIFÍCIL SABERLO

ENTONCES, SI AJUSTAMOS LOS DATOS
A CUALQUIER FORMA, MATEMÁTICAMENTE
TÍPICA, LO MAS PROBABLE ES QUE AL
RESOLVER NUMERICAMENTE EL PROBLEMA
NO ENCONTREMOS SOLUCIÓN, O BIEN,
COMO EL ORDENADOR DEBE
ESCUPIR SIEMPRE ALGO, NOS
ESCUPIA ALGO CATASTRÓFICO

Y NO HAY QUE OLVIDAR QUE,
AUNQUE EMPLEEMOS UN MÉTODO
NUMÉRICO QUE NO IMPLIQUE
UN "AJUSTE" DIRECTO DE LOS
DATOS

CUALQUIER REPRESENTACIÓN
NUMÉRICA QUE EMPLEEMOS PARA
EL OPERADOR

$$\int_a^b K(x, y) \dots dx$$

(VEREMOS, LUEGO, VARIAS), IMPLICA,
EN CIERTO MODO, UNA "FORMA
MATEMÁTICA" DE ORGANIZAR
LOS DATOS,

ES DECIR, LA ESTRUCTURA
NUMÉRICA DEL OPERADOR = O DE
LA ORGANIZACIÓN DE LOS DATOS -
TIENE QUE REPRESENTAR FIELMENTE
LA ESTRUCTURA MATEMÁTICA DEL
PROBLEMA.

EN CIERTO MODO, LA "FORMA
MATEMÁTICA" DE PRESENTAR LOS
DATOS

Y CUANDO ESOS DATOS SON
EXPERIMENTALES/OBSERVACIONALES
SONOS NOSOTROS LOS QUE TENEMOS
QUE PRESENTARLOS CON "ESA
FORMA MATEMÁTICA"

VIENE INDICADA POR LAS
FUNCIONES PROPIAS DEL OPERADOR.
SON LAS QUE DESCRIBEN SU
COMPORTAMIENTO

PERO, LA POSIBILIDAD DE ENCONTRAR
LAS FUNCIONES PROPIAS $\phi(x)$,
(ESTRICTAMENTE PROPIAS):

$$\int_a^b K(x, y) \phi(x) dx = \lambda \phi(y)$$

ES, PRACTICAMENTE NULA (EN
LINEAS GENERALES)

SI TUVIERAMOS UN CONJUNTO LO
SUFICIENTEMENTE COMPLETO DE
FUNCIONES PROPIAS $\{ \phi_j(x) \}$

SERÍA, EN LA PRACTICA

$$K(x, y) \approx \sum_j \alpha_j \phi_j(x) \phi_j(y)$$

Y LOS DATOS SE TENDRIAN QUE
"PRESENTAR" EN LA FORMA

$$g(y) \approx \sum_j \gamma_j \phi_j(y)$$

ES DECIR COMO UNA COMBINACION
LINEAL DE LAS FUNCIONES PROPIAS

PERO, PARA UN OPERADOR GENERAL,
DADO, SERA PRACTICAMENTE ENCONTRAR
ESTAS FUNCIONES ESTRICTAMENTE
PROPIAS

EN REALIDAD, COMO VEREMOS
DESPUES, NO TIENEN QUE SER
ESTRICTAMENTE PROPIAS

PUEDEN SERLO EN EL SENTIDO
DE LANZOS

PERO, EN CUALQUIER CASO,
CUALQUIER AYUDA SOBRE EL COMPOR-
TAMIENTO CON y DEL OPERADOR
INTEGRAL, DEBE SER TENIDA EN
CUENTA A LA HORA DE "REPRESENTAR
LOS DATOS"

OTRA POSIBILIDAD PARA TENER EN CUENTA CORRECTAMENTE LA CONDICIÓN DE COMPATIBILIDAD

O, MEJOR DICHO, PARA NO INTRODUCIR ARTIFICIALMENTE LA INCOMPATIBILIDAD

CONSISTE EN PROPONER UN MODELO MATEMÁTICO LO SUFICIENTEMENTE GENERAL (CON MUCHOS PARÁMETROS LIBRES) PARA $f(x)$

CON ESTO $f(x)$ GENERAL (SUFICIENTEMENTE BIEN PARÁMETRIZADA)

SE CALCULA $g(y)$ EN LA ECUACIÓN INTEGRAL: PROBLEMA DIRECTO, GUARDANDO LOS PARÁMETROS LIBRES COMO TALES

COMPARANDO ESA $g(y)$ - QUE DEPENDE DE LOS PARÁMETROS LIBRES - CON LOS DATOS OBSERVACIONALES / EXPERIMENTALES, SE DETERMINARÁ EL VALOR DE LOS PARÁMETROS.

DE ESTA MANERA DESCRIBIMOS
LAS OBSERVACIONES $g(\gamma)$ CON
UNA "FORMA MATEMÁTICA" QUE
RESULTA DE LA PROPIA ECUACIÓN
INTEGRAL

PERO HAY QUE ELEGIR ESE
MODELO DE $f(x)$ - LO SUFICIENTE
MENTE BIEN PARAMETRIZADO -

DEBEMOS DE CONOCER EL
COMPORTAMIENTO ASINTÓTICO
DE $f(x)$ CUANDO $x \rightarrow \pm\infty$ (QUE,
PARA $g(\gamma)$ SUELE ESTAR FUERA
DE LA REGIÓN DE MEDIDA)

NO ES UNA TAREA DIFÍCIL,
PERO SUPONE UN CIERTO CUIDADO,

SON DOS FORMAS COMODAS
PARA TENER EN CUENTA LA
CONDICIÓN DE COMPATIBILIDAD
EN EL MOMENTO DE INTRODUCIR
LOS DATOS PARA RESOLVER
EL PROBLEMA

ES. EN ESTE PUNTO
DONDE EXISTE UNA DE
LAS MAYORES DIFICULTADES.

CONCLUSIONES

EN LOS PROBLEMAS INVERSOS, FORMULADOS COMO TRANSFORMADAS INTEGRALES LINEALES ENCONTRAMOS LOS MISMOS PROBLEMAS QUE EN LA RESOLUCIÓN DE SISTEMAS LINEALES DE ECUACIONES ALGEBRAICAS.

PUEDE EXISTIR INCOMPATIBILIDAD ENTRE LOS DATOS Y EL SISTEMA DE ECUACIONES, ES DECIR ENTRE LOS DATOS Y LA FORMA DEL NUCLEO? LOS DATOS $g(y)$ SE ENCUENTRAN FUERA DEL ESPACIO DONDE PROYECTAN TODAS LAS POSIBLES FUNCIONES OBJETO $f(x)$.

ENTONCES, EVIDENTEMENTE NO SE PUEDEN INVERTIR

EN EL CASO EN EL QUE SE PUEDE INVERTIR, ES DECIR, EN EL CASO EN EL QUE EXISTE UNA SOLUCIÓN, PUEDEN EXISTIR INFINITAS.

HAY QUE ESTUDIAR EL PROBLEMA

HOMOGENEO: **SÍ NO TIENE**

SOLUCIONES, ES DECIR SI EL OPERADOR NO TIENE NINGÚN AUTOVALOR NULO,

ESA SOLUCIÓN (QUE EXISTE) SERÁ ÚNICA.

PERO SI EL SISTEMA HOMOGENEO TIENE SOLUCIONES: AL MENOS ALGUNO DE SUS AUTOVALORES ES NULO

EL PROBLEMA PROPUESTO

TENDRA INFINITAS SOLUCIONES:

SERA UN PROBLEMA MAL PLANTEADO.

VEREMOS A CONTINUACIÓN QUE, EN LA PRACTICA, EL PROBLEMA HOMOGENEO TENDRA SOLUCIÓN SIEMPRE O CASI SIEMPRE.

SALVEDAD IMPORTANTE

NOS ESTAMOS OCUPANDO DE
PROBLEMAS INVERSOS TIPO
GEOMETRÍA INTEGRAL (GEL'FAND)
QUE PROVIENEN DEL CAMPO
DE LA FÍSICA EXPERIMENTAL /
OBSERVACIONAL

EN ESTAS CONDICIONES
EL TÉRMINO ECUACIONES
INTEGRALES SE APLICA GENERAL-
-MENTE A ECUACIONES CON
NÚCLEO DEFINIDO POSITIVO
QUE, COMO VEREMOS, PRESENTA
SIEMPRE UN FENÓMENO DE
FILTRADO Y ALISAMIENTO
DE LA FUNCIÓN SOBRE LA
QUE ACTUA.

9-3

TRANSFORMADAS
INTEGRALES

PROPAGACION DE

DETALLES ESPECIFICOS

FREDHOLM

CONVOLUCIÓN

POR COMODIDAD

UN NUCLEO RECTANGULAR TIPO PIXEL

$$K(x, y) = u(y - \Delta \leq x \leq y + \Delta)$$

ANCHURA 2Δ

$$g(y) = \int_{-x}^{+x} K(x, y) f(x) dx =$$

$$= \int_{-x}^{+x} u(y - \Delta \leq x \leq y + \Delta) f(x) dx$$

$$= \int_{y - \Delta}^{y + \Delta} f(x) dx$$

PARA UN ESTUDIO SIMPLE

$$\begin{aligned} \underline{f(x)} &= f_0 + \delta f(x) \\ &= \underline{f_0 + \delta f \cos \omega x} \end{aligned}$$

$f(x)$

UNA COMPONENTE f_0 cte

UNA COMPONENTE OSCILANTE :

IRREGULARIDADES, CON VALOR MEDIO

NULLO, AMPLITUD δf

FRECUENCIA ω

QUEREMOS ESTUDIAR COMO SE PROPAGA LA "AMPLITUD RELATIVA" DE LAS IRREGULARIDADES QUE SE PUEDEN PRESENTAR EN LA FUNCION OBJETO $f(x)$

$$\frac{\Delta f}{f_0} \rightarrow \frac{\Delta g(y)}{g_0(y)}$$

$$g(y) = \int_{y-\Delta}^{y+\Delta} (f_0 + \Delta f \cos wx) dx \cong g_0(y) + \Delta g(y)$$

$$g_0(y) = \int_{y-\Delta}^{y+\Delta} f_0 dx = 2\Delta f_0$$

$$\Delta g(y) = \int_{y-\Delta}^{y+\Delta} \Delta f \cos wx dx = -\frac{2\Delta}{w\Delta} \Delta f \sin w\Delta \cos wy$$

EL VALOR MÁXIMO (MODULO) DE LAS "IRREGULARIDADES" OBSERVADAS

$$\Delta g_0(y) = 2\Delta \frac{\Delta f}{w\Delta}$$

LUEGO

$$\frac{\Delta g_0(y)}{g_0(y)} = \frac{\Delta f}{f_0} \frac{1}{w\Delta}$$

CUANTO MAS GRANDE SEA LA FRECUENCIA
DE LAS IRREGULARIDADES EN LA
FUNCION OBJETO $f(x)$ MENOS APARECERA
EN LA IMAGEN $g(y)$

MAYOR DIFICULTAD DE RECUPERARLAS
EN LA INVERSION

CUANTO MAYOR SEA LA ANCHURA DEL
NUCLEO Δ , MENOR SERA LA
INFLUENCIA RELATIVA SOBRE LA
FUNCION IMAGEN $g(y)$ DE LAS
IRREGULARIDADES EN LA FUNCION
OBJETO $f(x)$

MAYOR DIFICULTAD DE RECUPERARLAS
EN LA INVERSION

si $\Delta g/g$ ES LA AMPLITUD
RELATIVA DE IMPRECISIONES
EN LOS DATOS

LA CORRESPONDIENTE AMPLITUD
RELATIVA EN EL RESULTADO DEL P.I.
SERA

Δ

VECES MAYOR

Δ : ANCHURA DEL
NUCLEO

FREDHOLM

CONVOLUCIÓN GAUSSIANA

$$g(y) = \int_{-\infty}^{+\infty} \frac{1}{\sqrt{\pi}\Delta} e^{-\left(\frac{y-x}{\Delta}\right)^2} dx$$

Δ : ANCHURA DEL NUCLEO

CONSIDERAREMOS (POR COMODIDAD)
UNA "IMPRECISION", "ERROR" "IRREGULARIDAD",
TAMBIÉN GAUSSIANO, DE AMPLITUD
 Δf , DE ANCHURA L , SITUADA EN
EL PUNTO x_0

$$f(x) = f_0 + \Delta f(x)$$

$$\Delta f(x) = \frac{\Delta f}{\sqrt{\pi} L} e^{-\left(\frac{x-x_0}{L}\right)^2}$$

SERÁ

$$g(y) \equiv g_0 + \Delta g(y)$$

$$g_0 =$$

$$\Delta g(y) = \frac{\Delta f}{\sqrt{\pi} \sqrt{\Delta^2 + L^2}} e^{-\left(\frac{y-x_0}{\sqrt{\Delta^2 + L^2}}\right)^2}$$

SOBRE $g(\gamma)$ LA "IRREGULARIDAD" APARECE EN EL MISMO SITIO: $\gamma = \gamma_0$

CON UNA "ANCHURA" $\sqrt{\Delta^2 + L^2}$ MAYOR

Y CON UNA AMPLITUD $\frac{1}{\sqrt{\Delta^2 + L^2}}$ MENOR

$$\frac{\Delta g(\gamma)_{\max}}{g_0} = \frac{\Delta f(x)_{\max}}{f_0} \frac{L}{\sqrt{\Delta^2 + L^2}}$$

EN UNA CONVOLUCION LAS IRREGULARIDADES SE HACEN MAS PEQUEÑAS: SE ALISAN

TANTO MAS CUANTO MAS GRANDE SEA LA ANCHURA Δ DEL NUCLEO

SI APARECEN ERRORES (DE ANCHURA CARACTERISTICA L) EN LAS MEDIDAS $g(\gamma)$

EN LA INVERSION

LOS CORRESPONDIENTES ERRORES SOBRE $f(x)$ SON LOS ANTERIORES AMPLIFICADOS POR UN FACTOR

$$\frac{\sqrt{\Delta^2 + L^2}}{L}$$

RIESGOS

LAPLACE

$$g(y) = \int_0^{\infty} f(x) e^{-xy} dx$$

PARA TODOS LOS VALORES DE y ,
EL NUCLEO CORRESPONDIENTE e^{-xy}
TIENE SU VALOR MAXIMO EN EL
MISMO PUNTO $x=0$.

LA ANCHURA CARACTERISTICA DE
CADA NUCLEO e^{-xy}

PUEDE CONSIDERARSE $\Delta \sim 1/y$

PARA VALORES DE y GRANDES
NUCLEOS MUY ESTRECHOS
TRANSMITEN BIEN LA INFORMACION
BUENAS POSIBILIDADES DE INVERSION

PARA VALORES DE y PEQUEÑOS
NUCLEOS MUY ANCHOS
TRANSMITEN MAL LA INFORMACION
MALAS CONDICIONES DE INVERSION

FREDHOLM

LAPLACE

PROPAGACIÓN DE UNA IRREGULARIDAD AISLADA:

$$f(x) = f_0 + \Delta f \cdot u(x_0 \leq x \leq x_0 + L)$$

LA AMPLITUD DE LA IRREGULARIDAD Δf SU ANCHURA L , Y SITUADA A PARTIR DEL PUNTO $x = x_0$

$$g(y) = \int_0^{\infty} f(x) e^{-xy} dx \quad \text{LAPLACE}$$

EN ESTE CASO

$$\begin{aligned} g(y) &= \frac{f_0}{y} + \frac{\Delta f}{y} \left[e^{-x_0 y} - e^{-(x_0 + L)y} \right] \\ &= \frac{f_0}{y} + \frac{\Delta f}{y} e^{-x_0 y} [1 - e^{-Ly}] \end{aligned}$$

IDENTIFICAMOS $g(y) = g_0(y) + \Delta g(y)$

$$g_0(y) = \frac{f_0}{y}$$

$$\frac{\Delta g(y)}{g_0(y)} = \frac{\Delta f}{f_0} e^{-x_0 y} [1 - e^{-Ly}]$$

LA PERTURBACION QUE SOLO EXISTE
 PARA VALORES DE x TALES QUE $x_0 \leq x \leq x_0 + L$
 MODIFICA LOS VALORES DE $g(y)$ PARA
 TODO y

ERA $\Delta \approx L/y$ ANCHURA DE CADA
 NUCLEO
 (PARA CADA VALOR
 DE y)

Si $L/y = \frac{L}{\Delta} \gg 1$

ANCHURA DE LA PERTURBACION MAYOR
 QUE LA ANCHURA DEL NUCLEO

$$\frac{\Delta g(y)}{g_0(y)} = \frac{\Delta f}{f_0} e^{-x_0 y}$$

RELATIVAMENTE BUENA PROPAGACION.
 ALGUNA POSIBILIDAD DE INVERSION

Si $L/y = \frac{L}{\Delta} \ll 1$

ANCHURA DE LA PERTURBACION MENOR
 QUE LA ANCHURA DEL NUCLEO

$$\frac{\Delta g(y)}{g_0(y)} = \frac{\Delta f}{f_0} e^{-x_0 y} L/y$$

MUY MALA PERTURBACION
 POCAS POSIBILIDADES DE INVERSION.

FREDHOLM LAPLACE

$$g(\gamma) = \int_0^{\infty} e^{-x\gamma} f(x) dx$$

PROPAGACIÓN DE UNA IRREGULARIDAD REPARTIDA:

$$f(x) = f_0 + \Delta f(x) = f_0 + \Delta f \cos \omega x$$

SE RA

$$g(\gamma) = g_0(\gamma) + \Delta g(\gamma)$$

$$g_0(\gamma) = \frac{f_0}{\gamma}$$

$$\Delta g(\gamma) = \Delta f \frac{\gamma}{\gamma^2 + \omega^2}$$

$$\frac{\Delta g(\gamma)}{g_0(\gamma)} = \frac{\Delta f(x)}{f_0} \frac{\gamma^2}{\gamma^2 + \omega^2} = \frac{\Delta f(x)}{f_0} \frac{1}{1 + \omega^2 \Delta^2}$$

Δ ANCHURA DE CADA NÚCLEO (UNO PARA CADA VALOR DE γ) $\Delta \equiv 1/\gamma$

DEBIL PROPAGACION DE UNA IRREGULARIDAD DE FRECUENCIA ω GRANDE

POCA PROBABILIDAD DE RECUPERAR LA PERTURBACION EN LA INVERSIÓN.

SI LA FRECUENCIA ω ES PEQUEÑA

HABRA BUENA PROPAGACIÓN DE LA
PERTURBACION SOBRE TODO SI
LA ANCHURA DEL NUCLEO Δ ES
TAMBIÉN PEQUEÑA: $\omega^2 \Delta^2 \ll 1$

$$\frac{\Delta \varphi(\omega)}{\varphi_0(\omega)} \approx \frac{\Delta f}{f_0}$$

COMO CONSECUENCIA HABRÁ
BUENA PROBABILIDAD DE
EN CONTRAR LA SEÑAL $\Delta f(\omega)$ EN
LA INVERSIÓN

LA FASE DE LA PERTURBACIÓN
INFLUYE LIGERAMENTE, PERO NO
ALTERA LA CONCLUSIÓN ANTERIOR

EN LINEAS MUY GENERALES

PUEDE APLICARSE EL LEMA DE RIEMAN-
LÉBESGUE. PERO LA SITUACIÓN ES
PEOR QUE EN UNA CONVOLUCIÓN, YA
QUE EL NUCLEO e^{-xy} TIENE SIEMPRE
SU MÁXIMO EN $x=0$ PARA CUALQUIER
VALOR DE y .

CONCLUSIONES GENERALES TRANSFORMADAS DE FREDHOLM

EN CIERTO MODO; CON MAYOR
O MENOR PRECISIÓN, SIEMPRE SE
PODRÁ DEFINIR UNA ANCHURA Δ
CARACTERÍSTICA DE LOS NUCLEOS

$$\Delta = \Delta(\gamma)$$

SI L ES LA ESCALA CARACTERÍSTICA
DE UN DETALLE EN $f(x)$

$$\omega \approx 1/L$$

HABRÁ BUENA TRANSMISIÓN DE
INFORMACIÓN, Y, POR LO TANTO
BUENAS POSIBILIDADES DE INVERSIÓN

SI $\frac{\Delta}{L} = \Delta \omega \ll 1$

ENCONTRAREMOS FACILMENTE LOS DETALLES
EN $g(\gamma)$ NUCLEOS ESTRECHOS

SI $\frac{\Delta}{L} = \Delta \omega > 1$

MALA TRANSMISIÓN DE INFORMACIÓN
DESAPARECEN DETALLES;
NUCLEOS ANCHOS

MALAS POSIBILIDADES DE INVERSIÓN

VOLTERRA

$$g(\gamma) = \int_{\gamma}^{\infty} f(x) e^{-x\gamma} dx$$

ESTUDIAREMOS SOBRE LA MISMA
TRANSFORMADA INTEGRAL ANTERIOR
LA PROPAGACION DE UN DETALLE
AISLADO :

$$f(x) = f_0 + \Delta f \cdot u(x_0 \leq x \leq x_0 + L)$$

PIXEL DE AMPLITUD Δf
DE ANCHURA L , ENTRE x_0 Y $x_0 + L$

$$g(\gamma) = g_0(\gamma) + \Delta g(\gamma)$$

$$g_0(\gamma) = f_0 \int_{\gamma}^{\infty} e^{-x\gamma} dx = f_0 \frac{e^{-\gamma^2}}{\gamma}$$

SI: $\gamma \geq x_0 + L$ LA PERTURBACION
NO APARECE EN $g(\gamma)$

$$SI: x_0 \leq \gamma \leq x_0 + L$$

$$\Delta g(\gamma) = \int_{\gamma}^{x_0 + L} \Delta f e^{-x\gamma} dx = \Delta f \frac{e^{-\gamma^2} - e^{-\gamma(x_0 + L)}}{\gamma}$$

VOLTERRA

$$g(\gamma) = \int_{\gamma}^{\infty} f(x) e^{-x\gamma} dx$$

ESTUDIAMOS UN $f(x)$ DE LA FORMA

$$f(x) = f_0 + \Delta f(x) \equiv f_0 + \Delta f \cos \omega x$$

MODULACIÓN

SERÁ

$$g(\gamma) = g_0(\gamma) + \Delta g(\gamma)$$

$$g_0(\gamma) = f_0 \int_{\gamma}^{\infty} e^{-x\gamma} dx = f_0 \frac{e^{-\gamma^2}}{\gamma}$$

$$\Delta g(\gamma) = \Delta f \int_{\gamma}^{\infty} e^{-x\gamma} \cos \omega x dx$$

$$\Delta f e^{-\gamma^2} \frac{1}{\sqrt{\gamma^2 + \omega^2}} \cos(\omega\gamma + \theta)$$

$$\theta = \arccos \frac{\gamma}{\omega}$$

$$\frac{\Delta g(\gamma)}{g_0} = \frac{\Delta f}{f_0} \frac{\gamma}{\sqrt{\gamma^2 + \omega^2}} \cos(\omega\gamma + \theta)$$

OSCILA ENTRE +1, -1

PARA GRANDES, SE ATENUA POCO

PARA PEQUEÑOS, SE ATENUA RÁPIDAMENTE.

LA INFLUENCIA DE LA POSICIÓN DE LA
PERTURBACION PERIODICA (MODULACION)
CON RESPECTO AL LIMITE DE LA INTEGRAL
(FASE), APARECE EN EL TÉRMINO

$$\cos(\omega\gamma + \theta)$$

LA ANCHURA DEL NUCLEO (PARA CADA
 γ) :

$$\Delta = 1/\gamma$$

LA CAPACIDAD DE TRANSMISIÓN DE ESA
MODULACIÓN AL ESPACIO DE LAS VARIABLES
OBSERVADAS DE ACUERDO CON LA FRECUEN
CIA ω

APARECE EN EL TÉRMINO :

$$\frac{\gamma}{\sqrt{\gamma^2 + \omega^2}} = \frac{1}{\sqrt{1 + (\omega\Delta)^2}}$$

ENCONTRAMOS EL MISMO CRITERIO DE
SIEMPRE, PERO AHORA DENTRO DE UNA
RAÍZ CUADRADA. ESTO MITIGA ALGO
LAS DIFICULTADES DE LA INVERSIÓN.

$$\frac{\Delta g(y)}{g_0(y)} = \frac{\Delta f}{f_0} [1 - e^{-(x_0+L)y}]$$

Si

$$y \leq x_0$$

$$\Delta g(y) = \int_{x_0}^{x_0+L} \Delta f e^{-xy} dx$$

$$= \Delta f \frac{e^{-x_0 y} - e^{-(x_0+L)y}}{y}$$

$$= \Delta f \frac{e^{-x_0 y}}{y} [1 - e^{-Ly}]$$

$$\frac{\Delta g(y)}{g(y)} = \frac{\Delta f}{f_0} e^{-x_0 y} [1 - e^{-Ly}]$$

ESTAMOS EN EL MISMO CASO QUE
 PARA LA TRANSFORMADA DE LAPLACE.
 NO HAY NADA NUEVO QUE AÑADIR.
 COMO SI EL LIMITE ANTERIOR
 FUERA 0.

AHORA, A PARTIR DE UN LIMITE
INFERIOR $\gamma = x_0$, $g(\gamma)$ DEBE

"SENTIR" LA PERTURBACION SOBRE
 $f(x)$.

ES DECIR CUANDO EL LIMITE
INFERIOR PERMITE QUE LA
PERTURBACION INTERVENGA
EN LA INTEGRAL.

ESTA CIRCUNSTANCIA DEBE
FAVORECER LA INVERSION
CON RESPECTO A LA SITUACION
QUE TENIAMOS EN LAS
TRANSFORMADAS DE FREDHOLM.

9-4

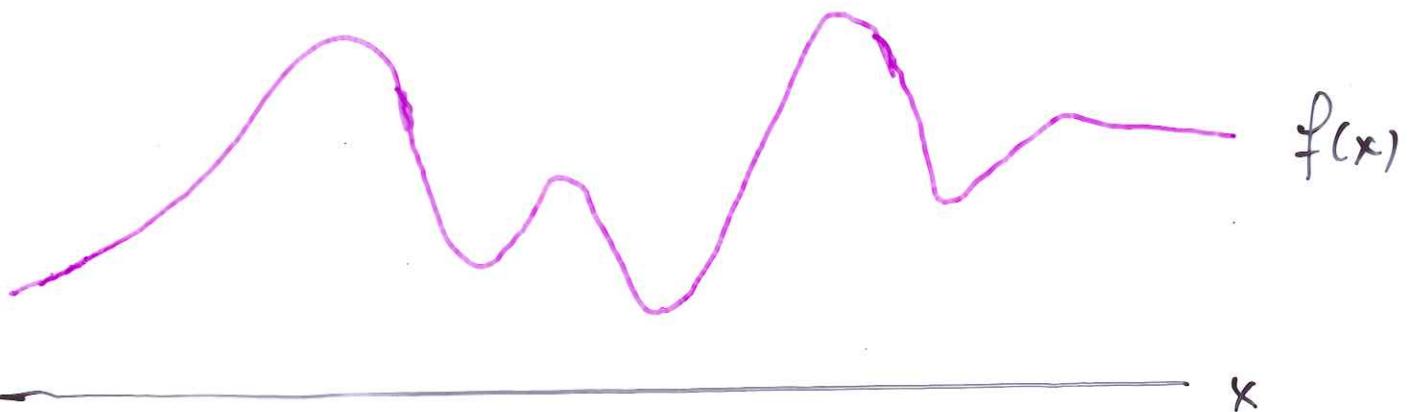
TRANSFORMADAS

INTEGRALES

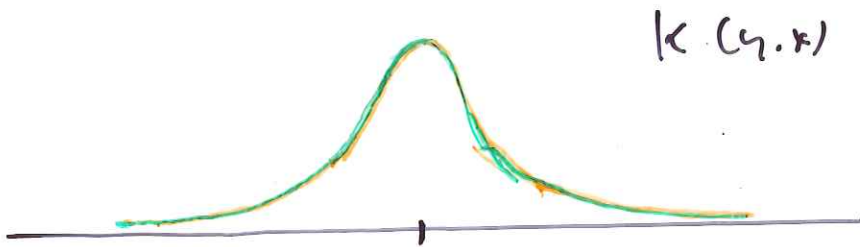
PROPAGACION DE

COMPORTAMIENTOS FUNCIONALES

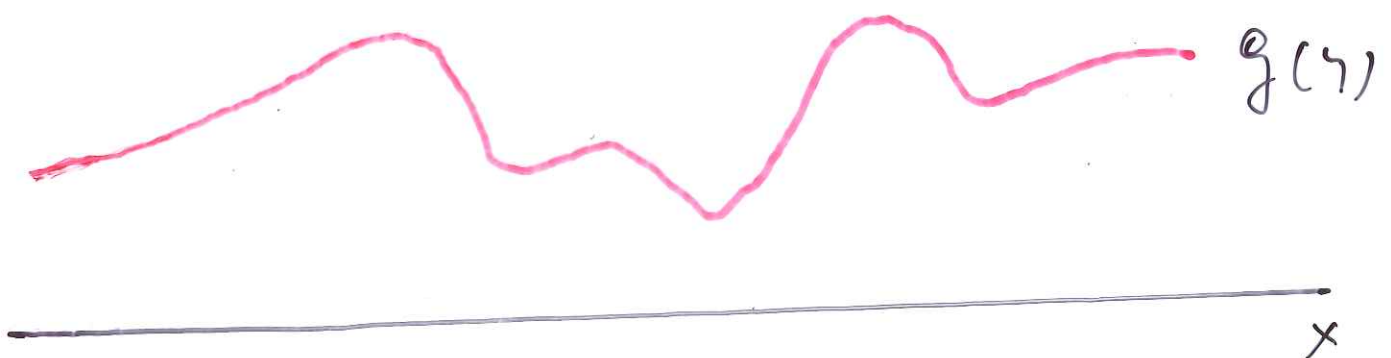
$$g(\eta) = \int K(\eta, x) f(x) dx$$



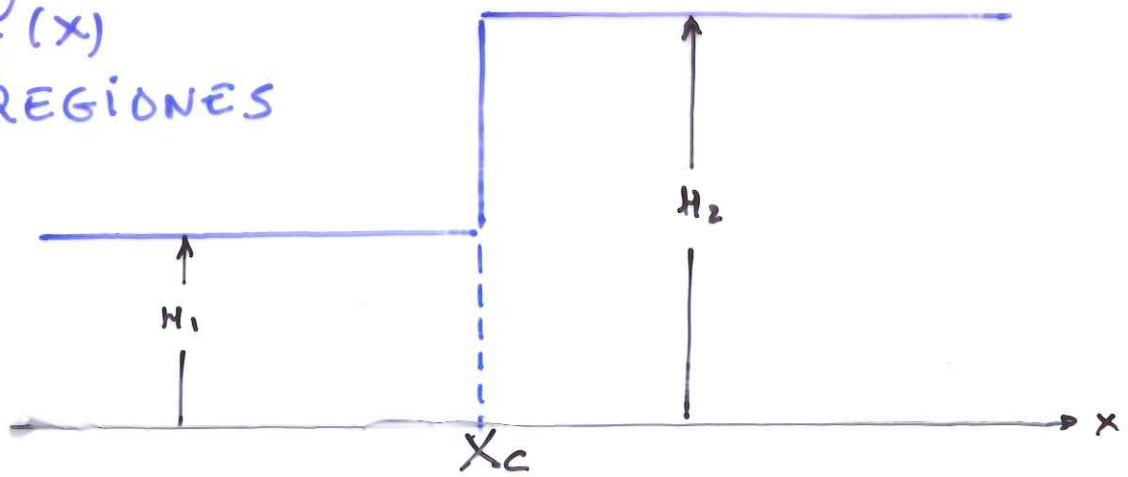
NUCLEO DE
CONVOLUCIÓN



$K(\eta, x)$

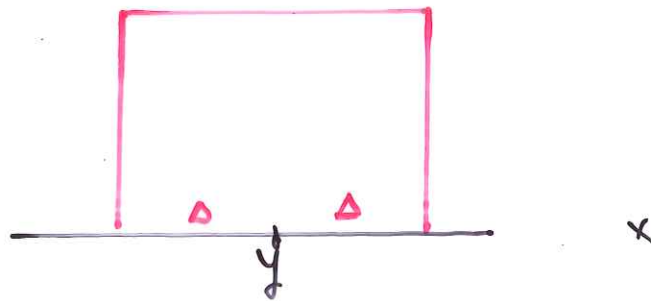


$f(x)$
DOS REGIONES



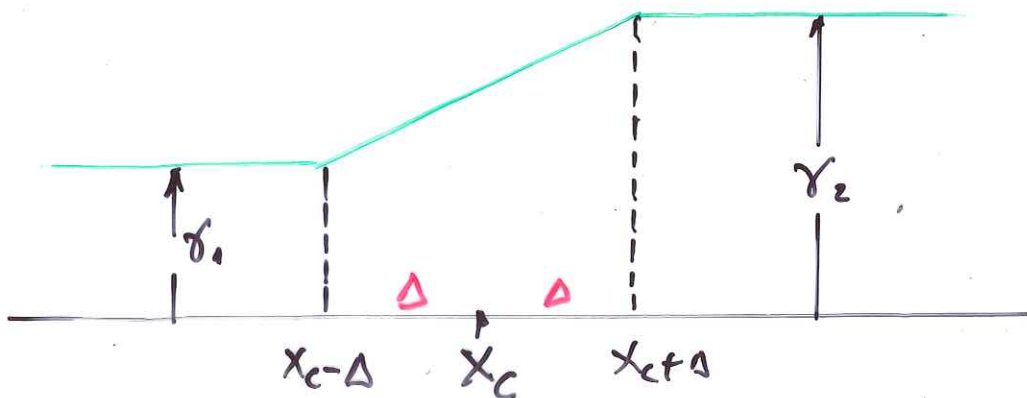
$$f(x) = \begin{cases} H_1 & \text{si } x < x_c \\ H_2 & \text{si } x > x_c \end{cases}$$

NUCLEO



$$K(y, x) = u(|x - y| < \delta) \equiv u(y - \delta < x < y + \delta)$$

Altura 1, por comodidad.



$$g(y) = \int_{-\infty}^{+\infty} K(y, x) f(x) dx = \int_{y-\Delta}^{y+\Delta} f(x) dx$$

$$\frac{d}{dy} g(y) = f(y+\Delta) - f(y-\Delta)$$

- Si $y < x_c - \Delta$

$$g(y) = H_1 \int_{y-\Delta}^{y+\Delta} dx = 2\Delta H_1 \equiv \delta_1$$

- Si $y > x_c + \Delta$

$$g(y) = H_2 \int_{y-\Delta}^{y+\Delta} dx = 2\Delta H_2 \equiv \delta_2$$

- Si $x_c - \Delta < y < x_c + \Delta$

$$g(y) = H_1 \int_{y-\Delta}^{x_c} dx + H_2 \int_{x_c}^{y+\Delta} dx =$$

$$= H_1 [x_c - y + \Delta] + H_2 [y + \Delta - x_c]$$

$$= [H_1 (\Delta + x_c) + H_2 (\Delta - x_c)] + (H_2 - H_1) y$$

RECONSTRUCCIÓN DE LA INFORMACIÓN

Si $g(y)$ se observa con gran precisión
se puede encontrar $f(x)$

SE OBSERVA

$$g(y) = r_1 \quad \text{cte}$$

$$\text{Si } y \leq x_c - \Delta$$

$$g(y) = \frac{r_1 + r_2}{2} + \frac{r_2 - r_1}{2} y$$

$$x_c - \Delta \leq y \leq x_c + \Delta$$

$$g(y) = r_2 \quad \text{cte}$$

$$y \geq x_c + \Delta$$

- PARA $y \leq x_c - \Delta$

$$g'(y) = 0 = f(y + \Delta) - f(y - \Delta) \quad \forall y < x_c - \Delta$$

$$\Rightarrow f(y + \Delta) = f(y - \Delta) \quad \forall y < x_c - \Delta$$

$$\Rightarrow f(y) = \text{cte} = H_1 = r_1 / 2\Delta$$

Si $y < x_c$

- PARA $y \geq x_c + \Delta$ (lo mismo)

$$f(y) = \text{cte} = H_2 = r_2 / 2\Delta \quad \text{si } y > x_c$$

ESTA RECONSTRUCCIÓN SUPONE
UNA BUENA OBSERVACIÓN DE
 $g(\gamma)$

EN PARTICULAR DETECTAR LOS
PUNTOS $\gamma = x_c - \Delta$ $\gamma = x_c + \Delta$
DONDE EL COMPORTAMIENTO
DE $g(\gamma)$ CAMBIA

ESTO PUEDE SER MÁS COMPLICADO
CUANTO MENOR SEA LA PENDIENTE
DE $g(\gamma)$ EN LA REGIÓN INTERMEDIA
 $x_c - \Delta < \gamma < x_c + \Delta$

ES DECIR CUANTO MAYOR SEA Δ :
LA ANCHURA DEL NUCLEO

ADEMÁS HAY QUE TENER EN
CUENTA LOS ERRORES EXPERIMENTALES

- ESTE EJEMPLO PRESENTA CIERTAS VENTAJAS PEDAGÓGICAS:

AUNQUE $f(x)$ SEA DISCONTINUA
 $g(y)$ SERÁ SIEMPRE CONTINUA
(fundamental pérdida de información)

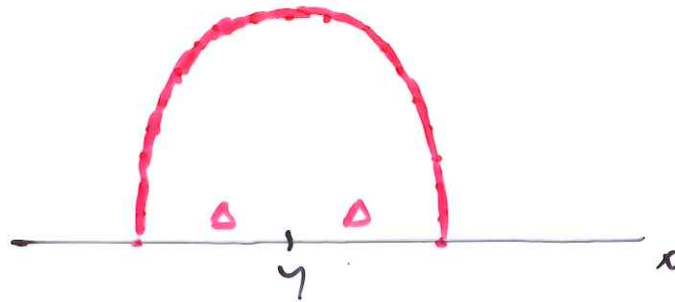
PERO AQUÍ, DEBIDO A LA FORMA DEL NUCLEO (pendientes infinitas^(*) para $x = y - \Delta$, $x = y + \Delta$)
 $g(y)$ PRESENTA UNA DERIVADA DISCONTINUA EN ESOS PUNTOS.

ESTO PUEDE FACILITAR LA "DETECCIÓN" DE ESTOS PUNTOS Y CON ELLO LA RECONSTRUCCIÓN DE $f(x)$.

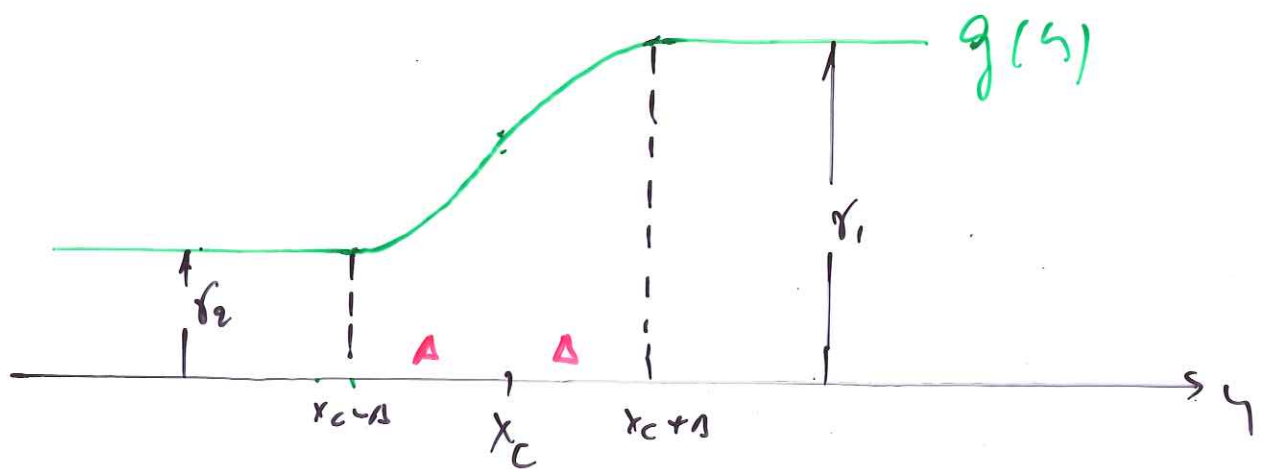
(*) VOLTERRA

SITUACIÓN NO TAN OPTIMA
(VOLTERRA)

$$K(\eta, x) = \left(1 - \frac{(\eta - x)^2}{\Delta^2}\right) \quad u(\eta - \Delta < x < \eta + \Delta)$$



Ahora $g(\eta)$ será del tipo



$$- \quad \eta < x_c - \Delta$$

$$g(\eta) = H_1 \int_{\eta - \Delta}^{\eta + \Delta} \left(1 - \frac{(x - \eta)^2}{\Delta^2} \right) dx = \frac{4}{3} \Delta H_1 \quad g'(\eta) = 0$$

$$- \quad \eta > x_c + \Delta$$

$$g(\eta) = \frac{4}{3} \Delta H_2 \quad g'(\eta) = 0$$

$$- \quad x_c - \Delta \leq \eta \leq x_c + \Delta$$

$$g(\eta) = H_1 \int_{\eta - \Delta}^{x_c} \left(1 - \frac{(x - \eta)^2}{\Delta^2} \right) dx + H_2 \int_{x_c}^{\eta + \Delta} \left(1 - \frac{(x - \eta)^2}{\Delta^2} \right) dx$$

$$= H_1 \left[x_c - \eta + \Delta + \frac{1}{3} \frac{(x_c - \eta)^2 + \Delta^2}{\Delta^2} \right] +$$

$$+ H_2 \left[\eta - x_c + \Delta - \frac{1}{3} \frac{\Delta^3 - (x_c - \eta)^3}{\Delta^2} \right]$$

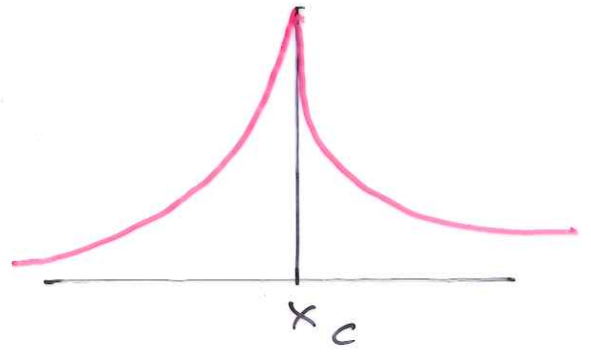
$$g'(\eta) = H_1 \left[-1 + \frac{(x_c - \eta)^2}{\Delta^2} \right] + H_2 \left[1 - \frac{(x_c - \eta)^2}{\Delta^2} \right]$$

Hay continuidad de la función g y de la derivada en los puntos $\eta = x_c - \Delta$, $\eta = x_c + \Delta$

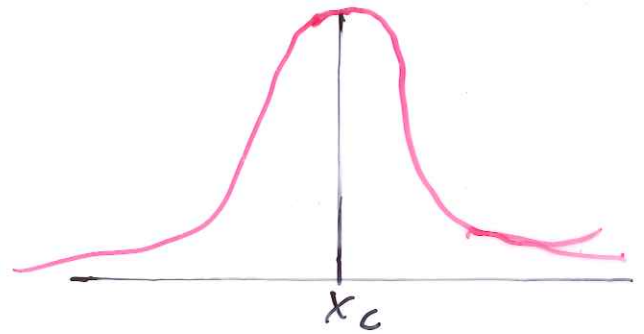
EL "DETECTAR" EN ESTE CASO,
LOS PUNTOS DONDE $g(y)$ DEJA DE
SER CONSTANTE, SERÁ MAS COMPLICADO
QUE EN EL PRIMER CASO

PERO AUN ASI SABEMOS, -Y YA ES
ALGO - QUE LA REGION EN LA CUAL
 $g(y)$ VARIA, ESTÁ LIMITADA A UN
INTERVALO DE ANCHURA 2Δ ($-\Delta < y < \Delta$)
NOI puede ayudar a localizar
los puntos $x_{c-\Delta}$, $x_{c+\Delta}$

$$k(y, x) = e^{-|x-y|}$$



$$k(y, x) = \frac{1}{\sigma} e^{-(x-y)^2}$$



SITUACIONES MÁS COMPLICADAS

$y \ll x_c$

$$\int_{-\infty}^{x_c} k(y, x) dx \approx 1$$

$$\int_{x_c}^{\infty} k(y, x) dx \approx 0$$

$y \gg x_c$

$$\int_{-\infty}^{x_c} k(y, x) dx \approx 0$$

$$\int_{x_c}^{\infty} k(y, x) dx \approx 1$$

el mismo comportamiento.

Pero entre estas dos situaciones
extrema !!!

CONCLUSIÓN

APARECEN CLARAMENTE DOS CARACTERÍSTICAS DE LOS NUCLEOS, QUE VAN A CONDICIONAR EXTRAORDINARIAMENTE LA "CALIDAD" DEL PROCESO INVERSO:

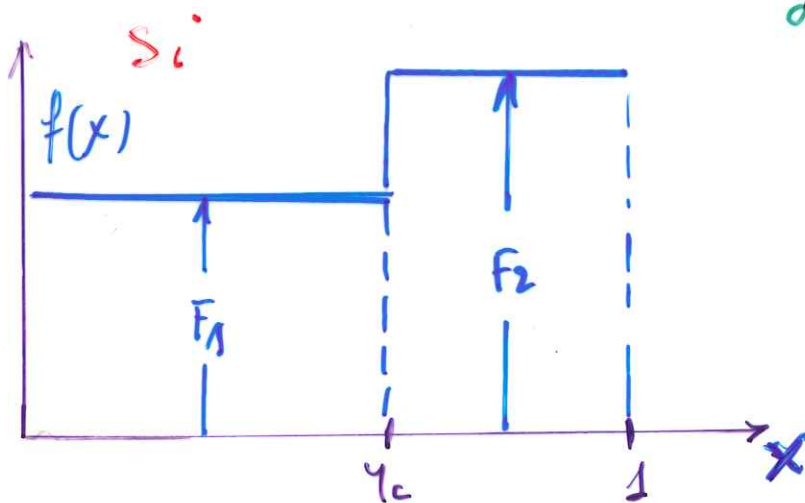
- SU ANCHURA: DE LA QUE DEPENDE EL MAYOR O MENOR GRADO DE ALISAMIENTO DE LAS CARACTERÍSTICAS DE $f(x)$

Ciertos detalles que se conservan en $f(x)$ pueden confundirse con los errores.

- SU FORMA FUNCIONAL: DE LA QUE VA A DEPENDER LA FORMA FUNCIONAL DE $g(y)$ Y POR LO TANTO EL PODER APRECIAR DIFERENTES REGIONES DE LOS DATOS, ASOCIADAS A CARACTERÍSTICAS DE $f(x)$.

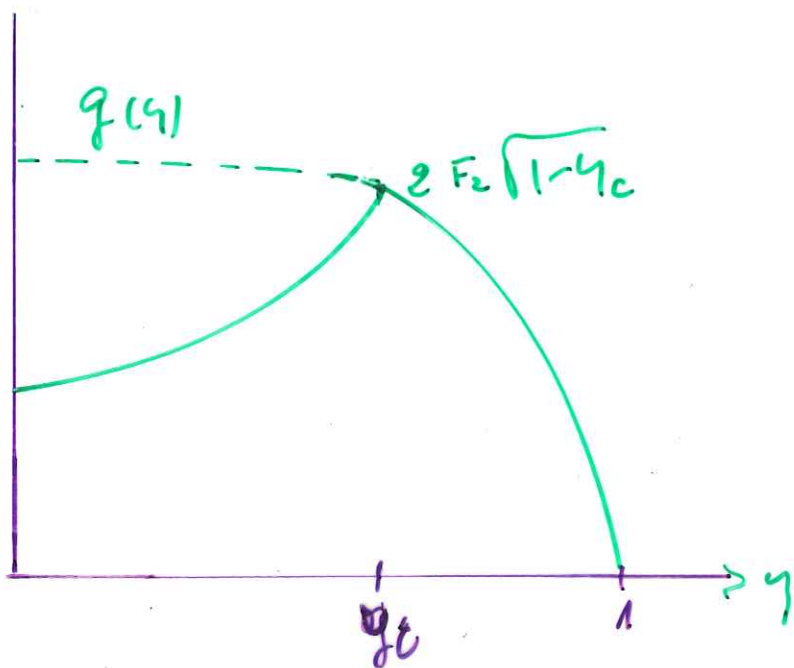
ABEL

$$g(y) = \int_y^1 \frac{f(x)}{\sqrt{x-y}} dx$$



$$g(y) = 2F_2 \sqrt{1-y} \quad y \geq \gamma_c$$

$$g(y) = 2F_2 \sqrt{1-y} - 2(F_2 - F_1) \sqrt{\gamma_c - y}$$



LA FUNCION

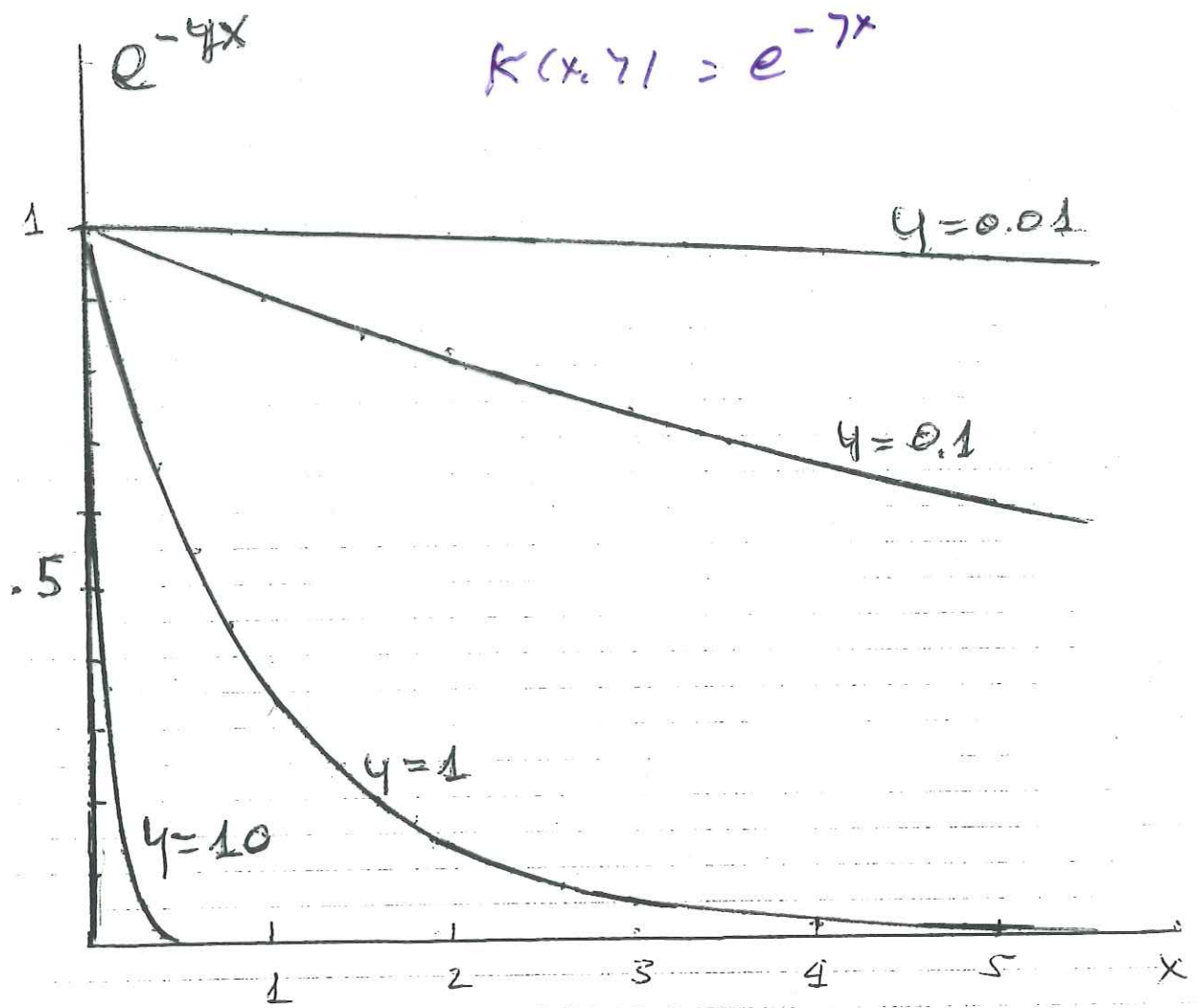
$g(y)$

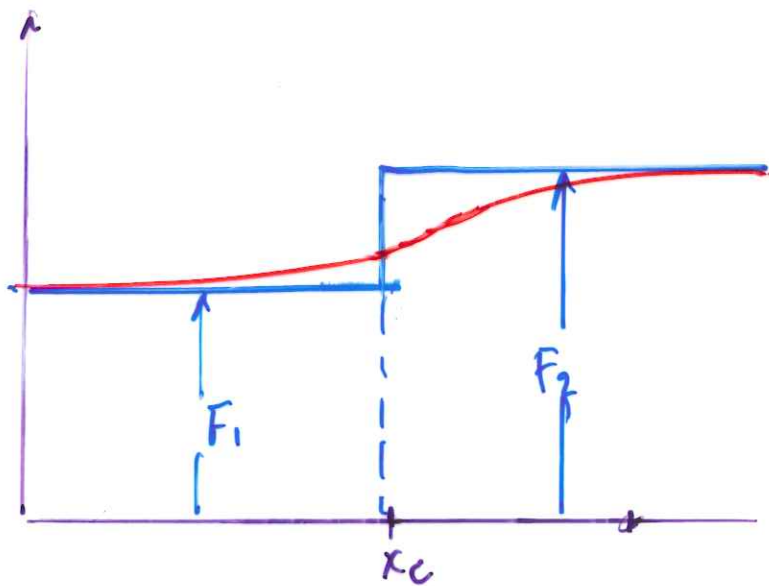
ES CONTINUA
PERO HAY UN
CAMBIO EN SU
DERIVADA

¿DONDE?

¿COMO APRECIARLO?

LAPLACE

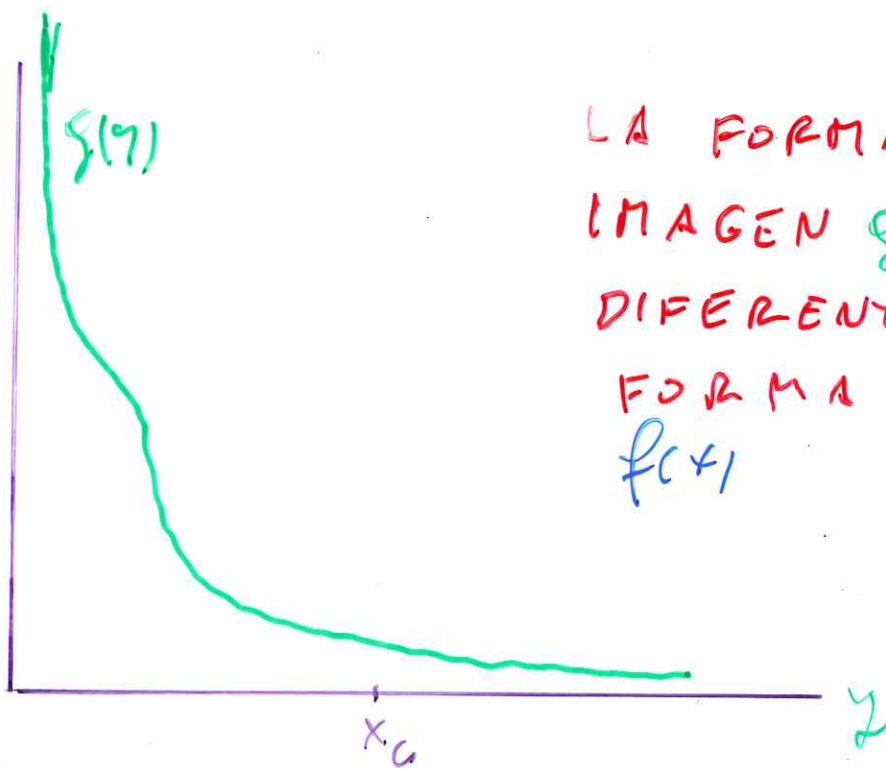




$$[y \ g(s)]_{y = \frac{1}{x}}$$

DIBUJADO
EN ROJO

$$g(s) = \frac{F_1}{s} + \frac{e^{-s x_c}}{s} (F_2 - F_1)$$



LA FORMA DE LA
IMAGEN $g(s)$ ES MUY
DIFERENTE DE LA
FORMA DEL OBJETO
 $f(x)$